

A decorative header at the top of the slide featuring a green grassy ground line. On the left, there is a small brown brick with a pipe and a blue Goomba enemy. On the right, there is a small red flag on a pole.

数字信号处理

任课教师：许录平 余航

单位：空间科学与技术学院

Email: hyu@xidian.edu.cn



第四章 快速傅里叶变换(FFT)

4.1 引言

4.2 基2FFT算法

4.3 进一步减少运算量的措施



引言

运算量	复数乘法	复数加法
$X(k) = \sum_{n=0}^{N-1} x(n)W_N^{kn}$	1个 $X(k)$ N	$N-1$
	N 个 $X(k)$ N^2	$N(N-1)$
$(a + jb)(c + jd)$ $= (ac - bd) + j(bc + ad)$	实数乘法	实数加法
	1次复乘 4	2
	1次复加	2
	1个 $X(k)$ $4N$	$2N+2(N-1)$
	N 个 $X(k)$ $4N^2$	$2N(2N-1)$



4.1 引言

DFT是信号分析与处理中的一种重要变换。因直接计算DFT的计算量与变换区间长度 N 的平方成正比，当 N 较大时，计算量太大，所以在快速傅里叶变换(简称FFT)出现以前，直接用DFT算法进行谱分析和信号的实时处理是不切实际的。直到1965年发现了DFT的一种快速算法以后，情况才发生了根本的变化。

基2FFT、基4FFT、分裂基FFT、DHT等。



引言

当 N 较大时，计算量太大，所以在快速傅里叶变换
(Fast Fourier Transform, FFT) 出现以前，直接用DFT算法
进行谱分析和信号的实时处理是不切实际的



引言

■ 降低运算量的途径

$$\mathbf{X} = \mathbf{W}_N \mathbf{x}$$

$$\mathbf{W}_N = \begin{bmatrix} 1 & 1 & 1 & \cdots & 1 \\ 1 & W_N^1 & W_N^2 & \cdots & W_N^{(N-1)} \\ 1 & W_N^2 & W_N^4 & \cdots & W_N^{2(N-1)} \\ \vdots & & & & \\ 1 & W_N^{(N-1)} & W_N^{2(N-1)} & \cdots & W_N^{(N-1)(N-1)} \end{bmatrix}$$

$$W_N = e^{-j\frac{2\pi}{N}}$$



引言

■ 降低运算量的途径

$$\mathbf{X} = \mathbf{W}_N \mathbf{x}$$

$$\mathbf{W}_2 = \begin{bmatrix} 1 & 1 \\ 1 & -1 \end{bmatrix}$$



引言

■ 降低运算量的途径

$$\mathbf{X} = \mathbf{W}_N \mathbf{x}$$

$$\mathbf{W}_3 = \begin{bmatrix} 1 & 1 & 1 \\ 1 & W_3^1 & W_3^2 \\ 1 & W_3^2 & W_3^4 \end{bmatrix} = \begin{bmatrix} 1 & 1 & 1 \\ 1 & W_3^1 & W_3^2 \\ 1 & W_3^2 & W_3^1 \end{bmatrix} = \begin{bmatrix} 1 & 1 & 1 \\ 1 & \frac{-1-j\sqrt{3}}{2} & \frac{-1+j\sqrt{3}}{2} \\ 1 & \frac{-1+j\sqrt{3}}{2} & \frac{-1-j\sqrt{3}}{2} \end{bmatrix}$$

引言

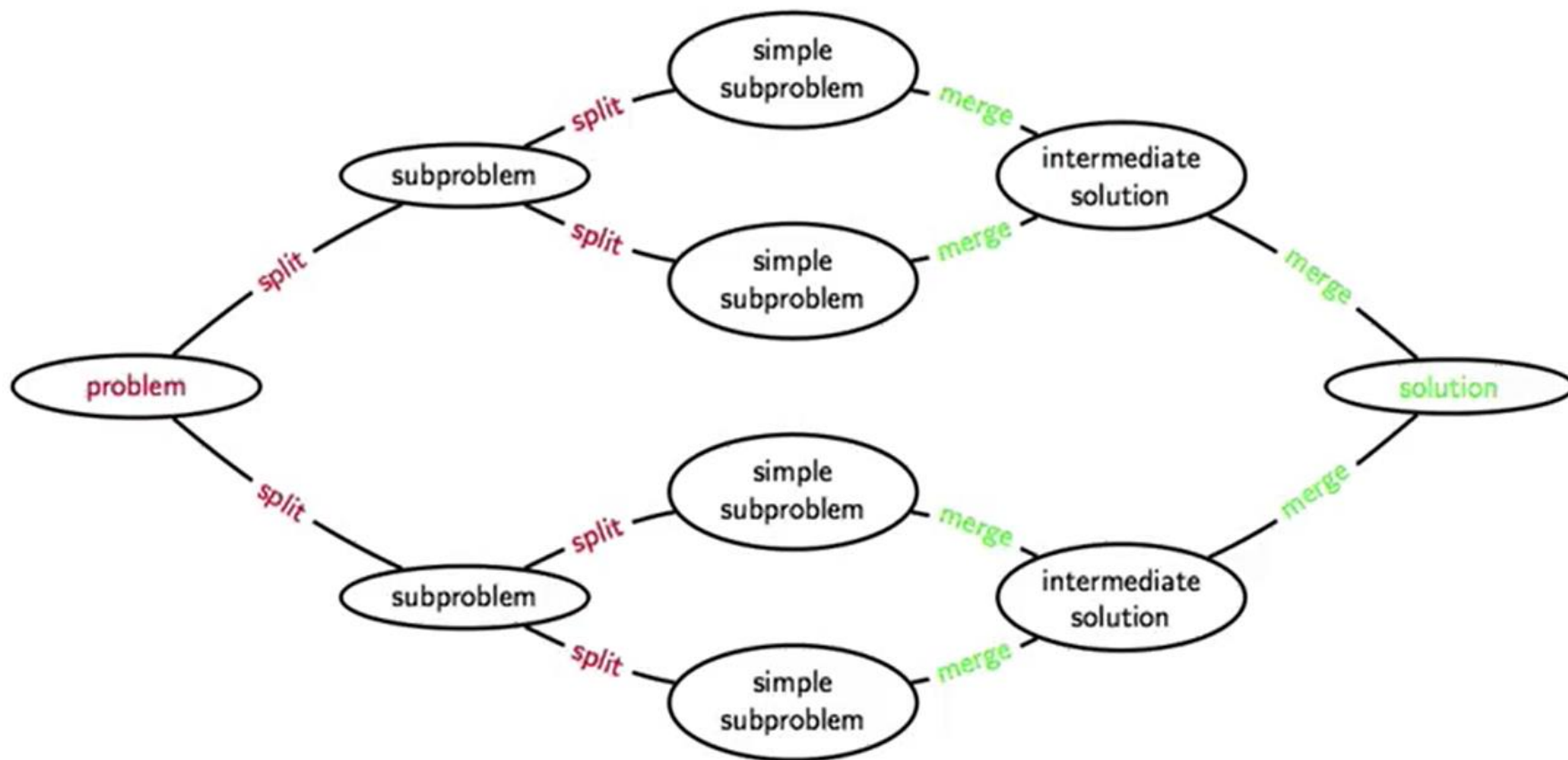
■ 降低运算量的途径

$$\mathbf{W}_4 = \begin{bmatrix} 1 & 1 & 1 & 1 \\ 1 & W_4^1 & W_4^2 & W_4^3 \\ 1 & W_4^2 & W_4^4 & W_4^6 \\ 1 & W_4^3 & W_4^6 & W_4^9 \end{bmatrix} = \begin{bmatrix} 1 & 1 & 1 & 1 \\ 1 & W_4^1 & W_4^2 & W_4^3 \\ 1 & W_4^2 & 1 & W_4^2 \\ 1 & W_4^3 & W_4^2 & W_4^1 \end{bmatrix}$$

$$= \begin{bmatrix} 1 & 1 & 1 & 1 \\ 1 & -j & -1 & j \\ 1 & -1 & 1 & -1 \\ 1 & j & -1 & -j \end{bmatrix}$$

引言

■ Divide and Conquer





引言

■ 降低运算量的途径

把 N 点DFT分解为几个较短的DFT，可使乘法次数大大减少，另外，利用旋转因子 W_N^m 的周期性、对称性和可约性来减少DFT的运算次数

周期性：
$$W_N^{m+lN} = e^{-j\frac{2\pi}{N}(m+lN)} = e^{-j\frac{2\pi}{N}m} = W_N^m$$

对称性：
$$W_N^{-m} = W_N^{N-m} \quad [W_N^{N-m}]^* = W_N^m \quad W_N^{m+\frac{N}{2}} = -W_N^m$$

可约性：
$$W_N^m = W_{N/n}^{m/n}$$



4.2 基2FFT算法

4.2.2 时域抽取法基2FFT基本原理

FFT算法基本上分为两大类：

- 时域抽取法FFT(Decimation In Time FFT,简称DIT-FFT)
- 频域抽取法FFT(Decimation In Frequency FFT,简称DIF—FFT)。



4.2 基2FFT算法

4.2.2 时域抽取法--基2FFT基本原理

设序列 $x(n)$ 的长度为 N ，且满足 $N = 2^M$, M 为正整数，如不满足，可补零，按 n 的奇偶把 $x(n)$ 分解为两个 $N/2$ 点的子序列

$$x_1(r) = x(2r), \quad r = 0, 1, \dots, \frac{N}{2} - 1$$

$$x_2(r) = x(2r + 1), \quad r = 0, 1, \dots, \frac{N}{2} - 1$$

4.2.2 时域抽取法基2FFT基本原理

$$\begin{aligned} X(k) &= \sum_{n \text{ 为偶}} x(n)W_N^{kn} + \sum_{n \text{ 为奇}} x(n)W_N^{kn} \\ &= \sum_{r=0}^{N/2-1} x(2r)W_N^{2kr} + \sum_{r=0}^{N/2-1} x(2r+1)W_N^{k(2r+1)} \\ &= \sum_{r=0}^{N/2-1} x_1(r)W_N^{2kr} + W_N^k \sum_{r=0}^{N/2-1} x_2(r)W_N^{2kr} \\ &= \sum_{r=0}^{N/2-1} x_1(r)W_{N/2}^{kr} + W_N^k \sum_{r=0}^{N/2-1} x_2(r)W_{N/2}^{kr} \\ &= X_1(k) + W_N^k X_2(k), \quad k = 0, 1, \dots, N-1 \end{aligned}$$

4.2.2 时域抽取法基2FFT基本原理

$$\begin{aligned} X(k) &= \sum_{n \text{ 为偶}} x(n)W_N^{kn} + \sum_{n \text{ 为奇}} x(n)W_N^{kn} \\ &= \sum_{r=0}^{N/2-1} x(2r)W_N^{2kr} + \sum_{r=0}^{N/2-1} x(2r+1)W_N^{k(2r+1)} \\ &= \sum_{r=0}^{N/2-1} x_1(r)W_N^{2kr} + W_N^k \sum_{r=0}^{N/2-1} x_2(r)W_N^{2kr} \\ &= X_1(k) + W_N^k X_2(k), \quad k = 0, 1, \dots, N-1 \end{aligned}$$

其中

$$W_N^{2kr} = e^{-j\frac{2\pi}{N}2kr} = e^{-j\frac{2\pi}{N}kr} = W_{N/2}^{kr}$$

← 旋转因子可约性

$$X_1(k) = \sum_{r=0}^{N/2-1} x_1(r)W_{N/2}^{kr} = DFT[x_1(r)]_{N/2} \quad (4.2.5)$$

$$X_2(k) = \sum_{r=0}^{N/2-1} x_2(r)W_{N/2}^{kr} = DFT[x_2(r)]_{N/2} \quad (4.2.6)$$

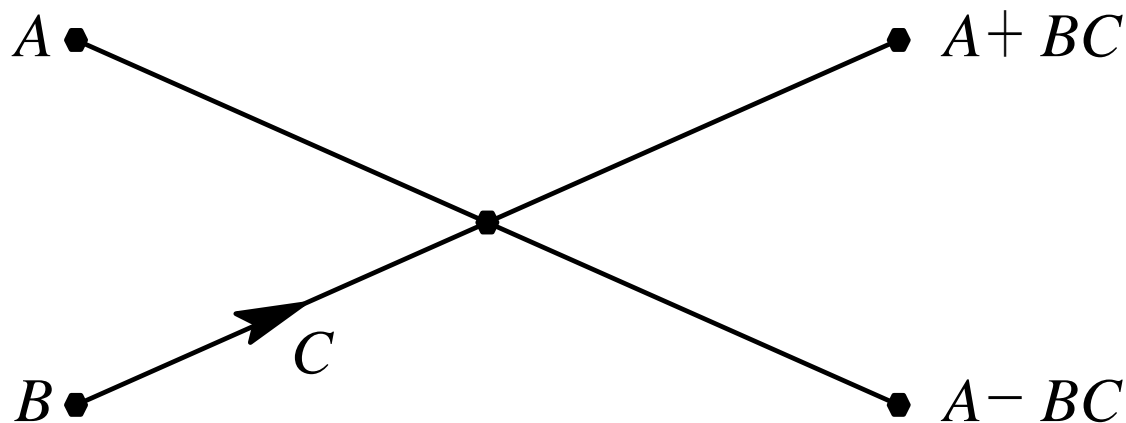
4.2.2 时域抽取法基2FFT基本原理

由于 $X_1(k)$ 和 $X_2(k)$ 均以 $N/2$ 为周期，且 $W_N^{k+\frac{N}{2}} = -W_N^k$

所以 $X(k)$ 又可表示为

$$X(k) = X_1(k) + W_N^k X_2(k) \quad k = 0, 1, \dots, \frac{N}{2} - 1 \quad (4.2.7)$$

$$X(k + \frac{N}{2}) = X_1(k) - W_N^k X_2(k) \quad k = 0, 1, \dots, \frac{N}{2} - 1 \quad (4.2.8)$$



蝶形单元需要
一次复数乘法
两次复数加法

图4.2.1 蝶形运算符号

4.2.2 时域抽取法基2FFT基本原理

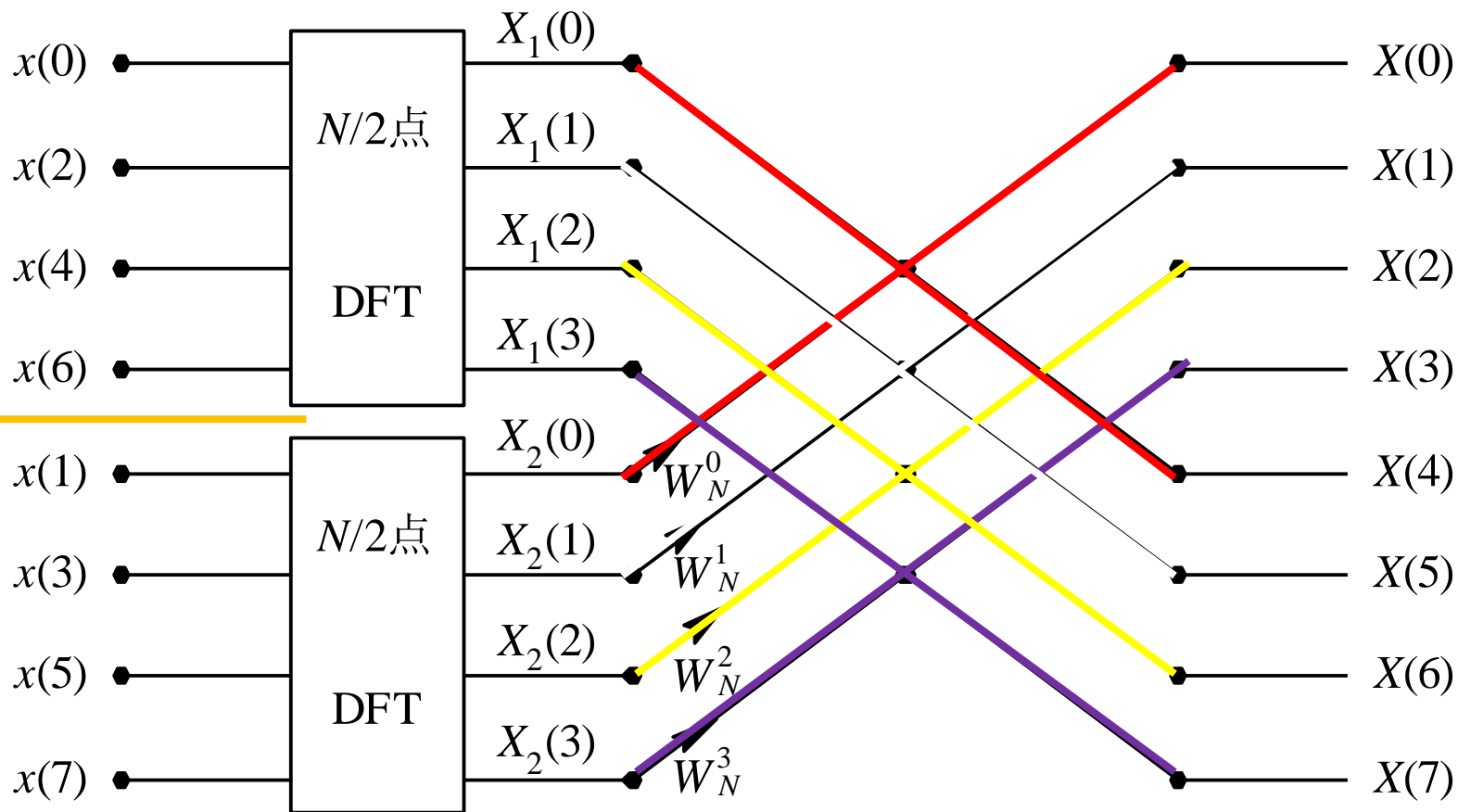


图4.2.2 N点DFT的一次时域抽取分解图(N=8)

一次分解
的运算量？



4.2.2 时域抽取法基2FFT基本原理

同理，将 $x_1(r)$ 按奇偶分解成两个 $N/4$ 长的子序列 $x_3(l)$ 和 $x_4(l)$ ，即

$$\left. \begin{array}{l} x_3(l) = x_1(2l) \\ x_4(l) = x_1(2l+1) \end{array} \right\}, l = 0, 1, \dots, \frac{N}{4} - 1$$

那么， $X_1(k)$ 又可表示为

$$\begin{aligned} X_1(k) &= \sum_{l=0}^{N/4-1} x_1(2l) W_{N/2}^{2kl} + \sum_{l=0}^{N/4-1} x_1(2l+1) W_{N/2}^{k(2l+1)} \\ &= \sum_{l=0}^{N/4-1} x_3(l) W_{N/4}^{kl} + W_{N/2}^k \sum_{l=0}^{N/4-1} x_4(l) W_{N/4}^{kl} \\ &= X_3(k) + W_{N/2}^k X_4(k), \quad k = 0, 1, \dots, N/2 - 1 \end{aligned}$$



4.2.2 时域抽取法基2FFT基本原理

式中

$$X_3(k) = \sum_{l=0}^{N/4-1} x_3(l)W_{N/4}^{kl} = DFT[x_3(l)] \quad (4.2.9)$$

$$X_4(k) = \sum_{l=0}^{N/4-1} x_4(l)W_{N/4}^{kl} = DFT[x_4(l)]$$

$$\left. \begin{aligned} X_1(k) &= X_3(k) + W_{N/2}^k X_4(k) \\ X_1(k + N/4) &= X_3(k) - W_{N/2}^k X_4(k) \end{aligned} \right\}, k = 0, 1, \dots, N/4 - 1 \quad (4.2.10)$$

4.2.2 时域抽取法基2FFT基本原理

同理可得：

$$\left. \begin{aligned} X_2(k) &= X_5(k) + W_{N/2}^k X_6(k) \\ X_2(k + N/4) &= X_5(k) - W_{N/2}^k X_6(k) \end{aligned} \right\}, k = 0, 1, \dots, N/4 - 1 \quad (4.2.11)$$

其中

$$X_5(k) = \sum_{l=0}^{N/4-1} x_5(l) W_{N/4}^{kl} = DFT[x_5(l)]$$

$$X_6(k) = \sum_{l=0}^{N/4-1} x_6(l) W_{N/4}^{kl} = DFT[x_6(l)]$$

$$\left. \begin{aligned} x_5(l) &= x_2(2l) \\ x_6(l) &= x_2(2l+1) \end{aligned} \right\}, l = 0, 1, \dots, N/4 - 1$$

4.2.2 时域抽取法基2FFT基本原理

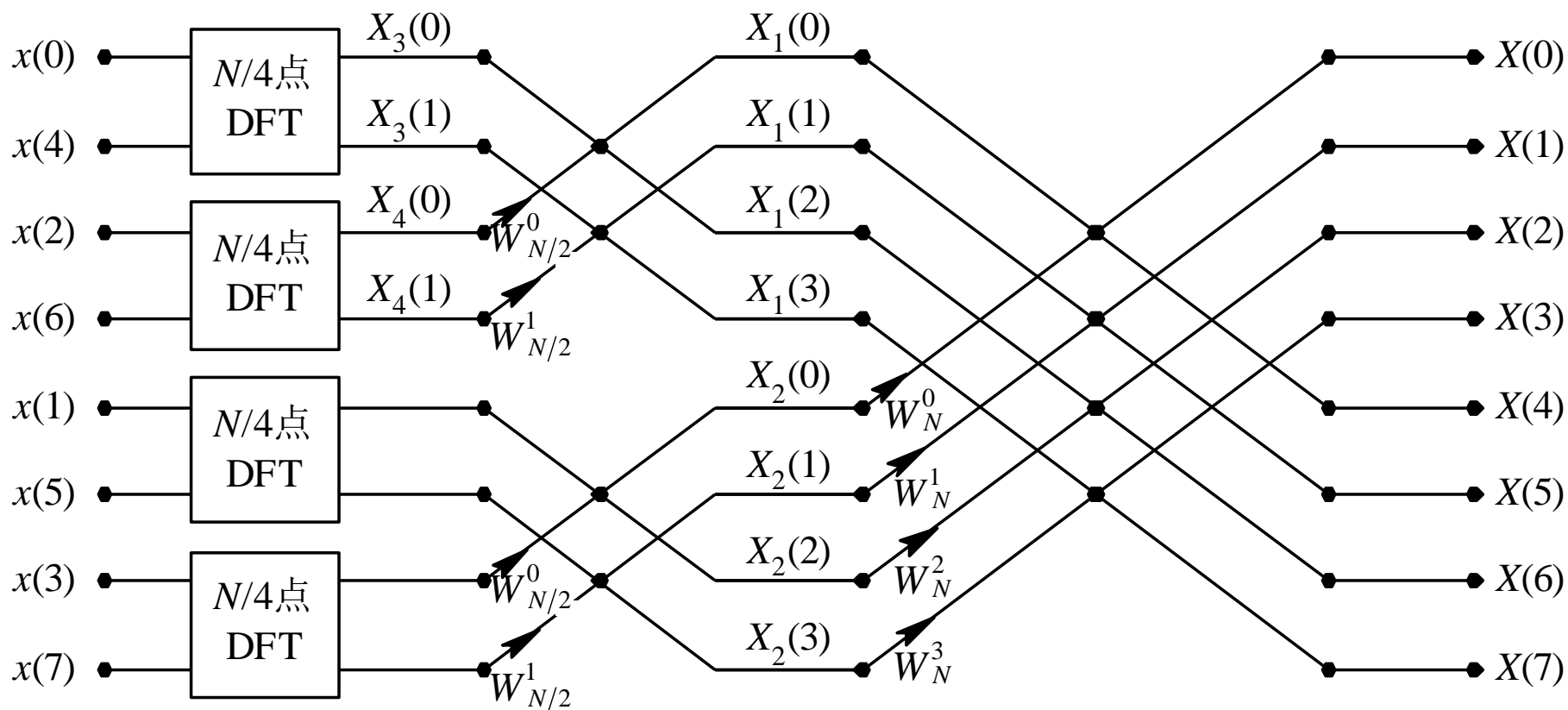
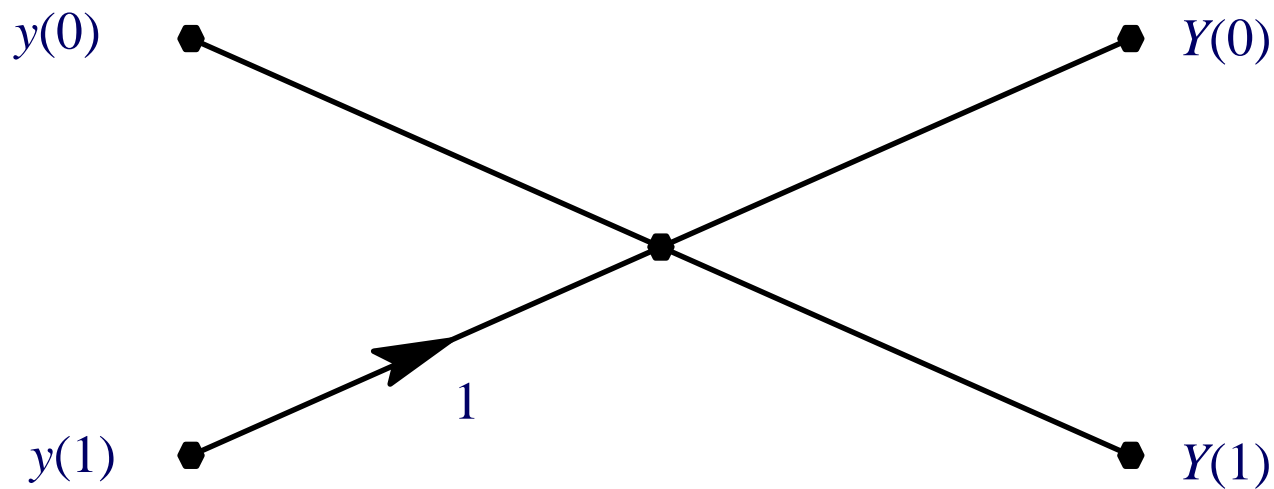


图4.2.3 8点DFT的第二次时域抽取分解图

4.2.2 时域抽取法基2FFT基本原理

■ 2点DFT:

$$Y(k) = DFT[y(n)] = \sum_{n=0}^1 y(n)W_2^{kn} = y(0)W_2^{k \cdot 0} + y(1)W_2^{k \cdot 1}$$



4.2.2 时域抽取法基2FFT基本原理

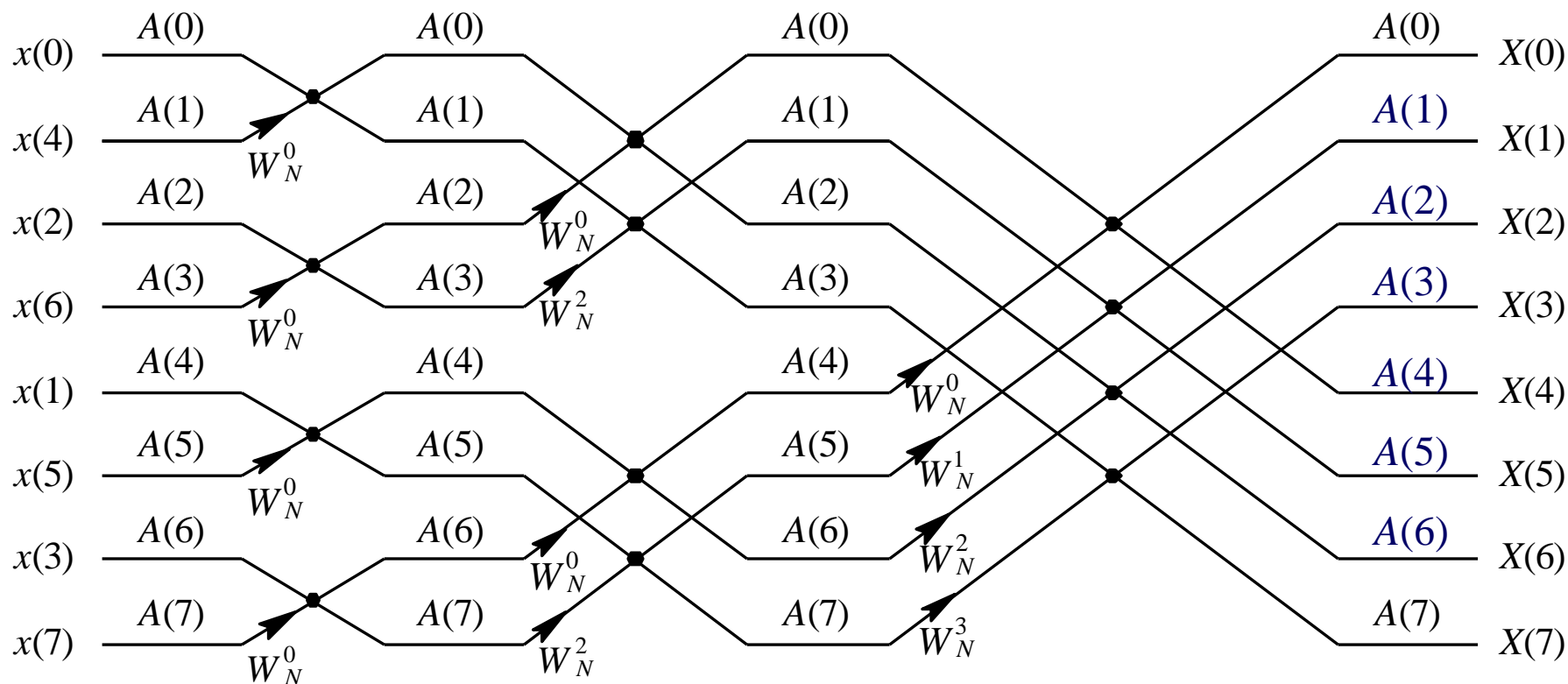


图4.2.4 N点DIT—FFT运算流图 (N=8)

A: 数组



4.2.3 DIT-FFT算法与直接计算DFT运算量的比较

- 每一个蝶形：2次复数加法，1次复数乘法；
- 每一级运算需要 $N/2$ 次蝶形运算；
- N 点FFT共 M 级运算， $M=\log_2 N$ 。

所以， M 级运算总共需要的复数乘次数为 $C_M = \frac{N}{2} \cdot M = \frac{N}{2} \log_2 N$

复数加次数为 $C_A = N \cdot M = N \log_2 N$

例如， $N=2^{10}=1024$ 时，复乘次数大大减少

$$\frac{N^2}{(N/2) \log_2 N} = \frac{1048576}{5120} = 204.8$$

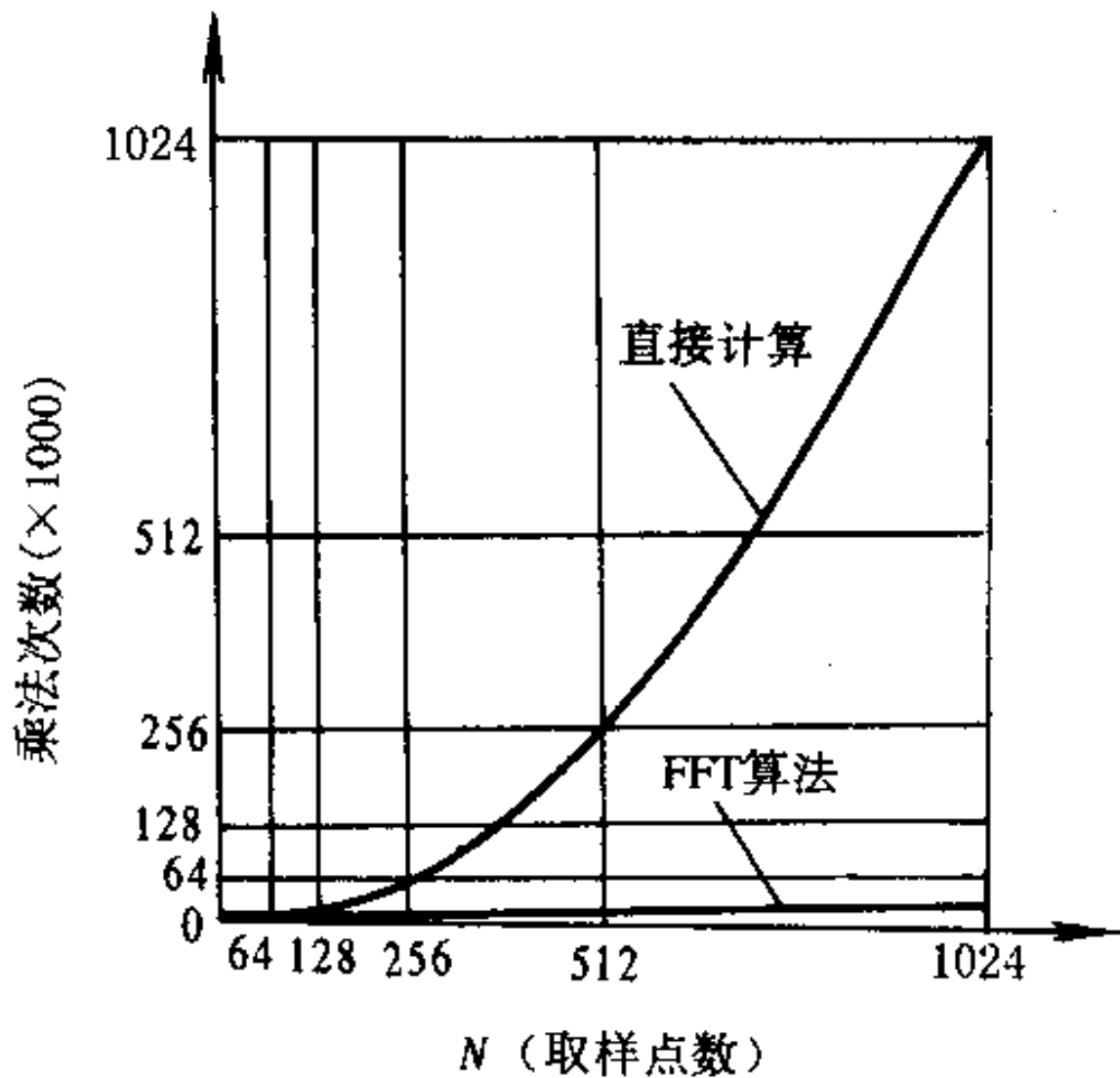
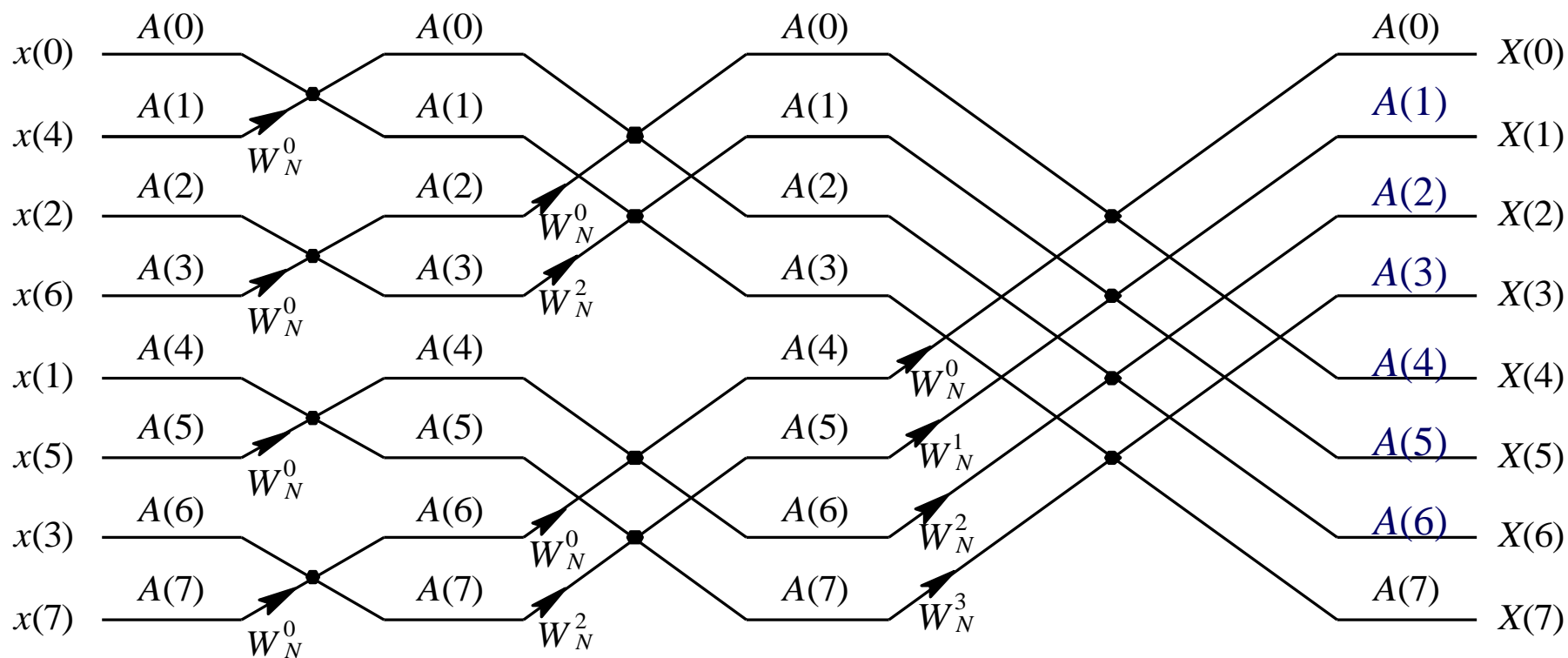


图4.2.5 FFT算法与直接计算DFT所需乘法次数的比较曲线

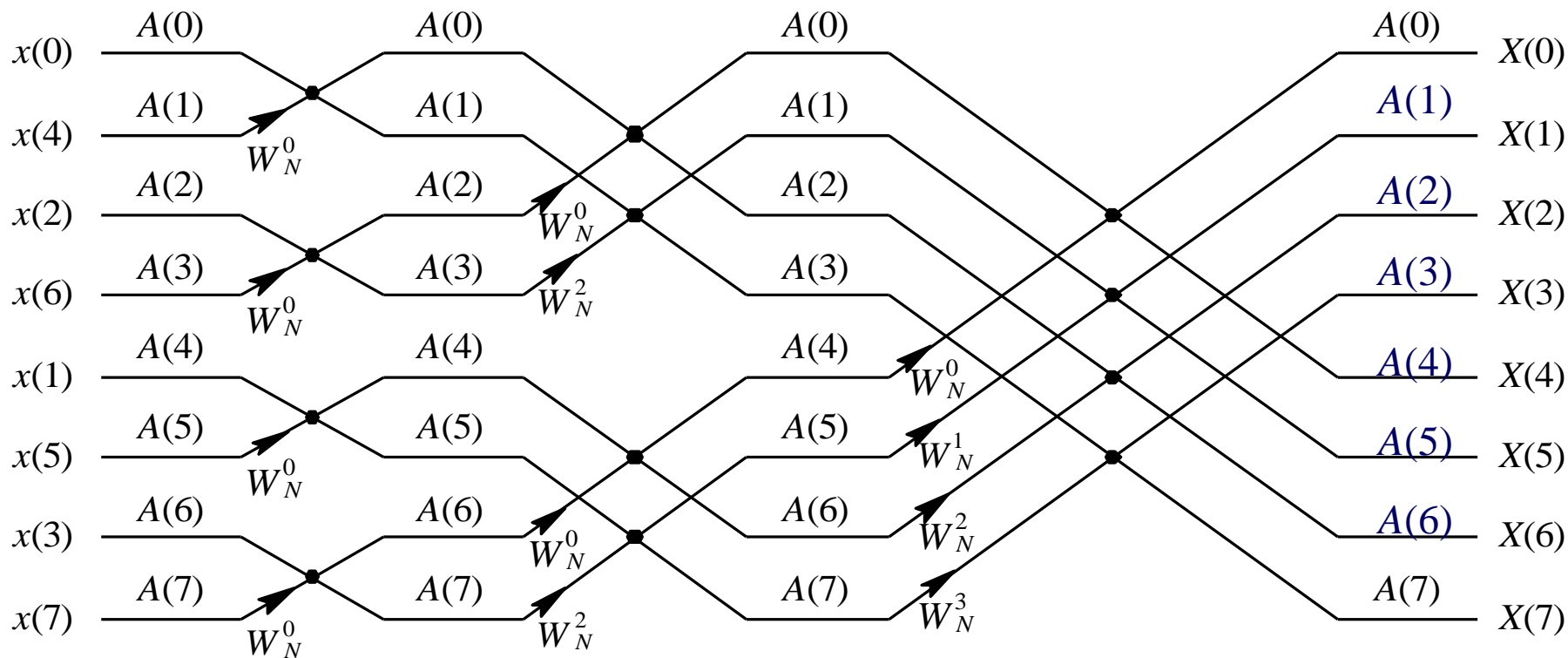
4.2.4 DIT-FFT的运算规律

1. 原位计算: 运算过程无需增加新的存储单元



4.2.4 DIT-FFT的运算规律及编程思想

2. 旋转因子的变化规律



- N点DIT—FFT运算流图中，每级都有 $N/2$ 个蝶形。
- 每个蝶形都要乘以因子 W_N^p ，称为旋转因子， p 为旋转因子的指数。

4.2.4 DIT-FFT的运算规律

2. 旋转因子的变化规律

$N = 2^3 = 8$ 时的各级旋转因子表示如下：

$$L=1 \text{ 时 } W_N^p = W_{N/4}^J = W_{2^L}^J, J = 0$$

$$L=2 \text{ 时 } W_N^p = W_{N/2}^J = W_{2^L}^J, J = 0, 1$$

$$L=3 \text{ 时 } W_N^p = W_N^J = W_{2^L}^J, J = 0, 1, 2, 3$$

对 $N=2^M$ 的一般情况，第 L 级的旋转因子为

$$W_N^p = W_{2^L}^J \quad J = 0, 1, 2, \dots, 2^{L-1} - 1$$

$$\text{由于 } 2^L = 2^M \times 2^{L-M} = N \cdot 2^{L-M}$$

$$\text{所以 } W_N^p = W_{N \cdot 2^{L-M}}^J = W_N^{J \cdot 2^{M-L}} \quad J = 0, 1, 2, \dots, 2^{L-1} - 1$$

$$p = J \cdot 2^{M-L}$$

3. 蝶形运算规律

设序列 $x(n)$ 经时域抽选(倒序)后, 存入数组 X 中。如果蝶形运算的两个输入数据相距 B 个点($B=2^{L-1}$), 应用原位计算, 则蝶形运算可表示成如下形式:

$$X_L(J) \leftarrow X_{L-1}(J) + X_{L-1}(J+B)W_N^p$$

$$X_L(J+B) \leftarrow X_{L-1}(J) - X_{L-1}(J+B)W_N^p$$

式中下标 L 表示第 L 级运算, $X_L(J)$ 则表示第 L 级运算后数组元素 $X(J)$ 的值。 $p=J \cdot 2^{M-L}$; $J=0,1,\dots, 2^{L-1}-1$; $L=1,2,\dots, M$

4. 编程思想及程序框图

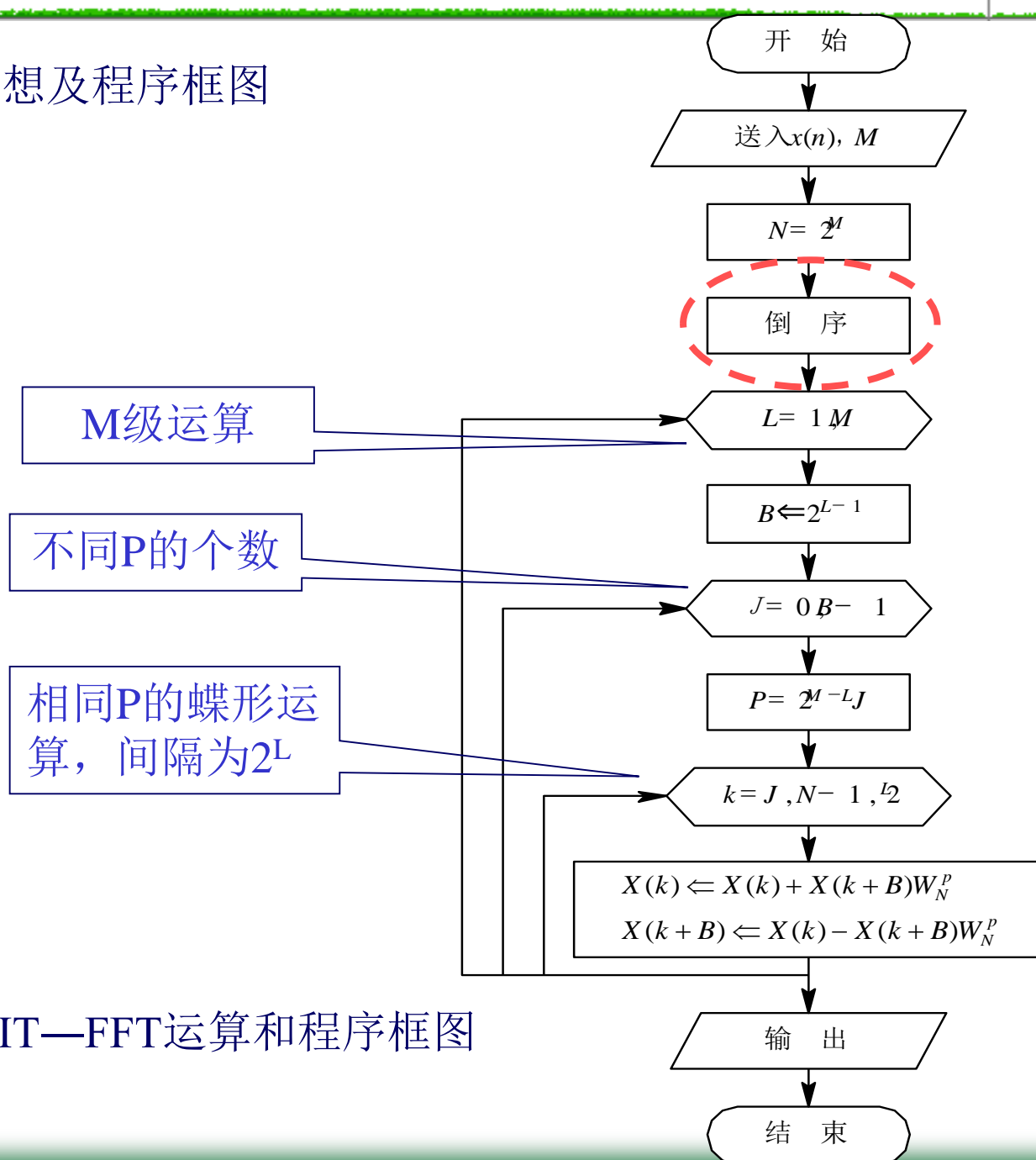
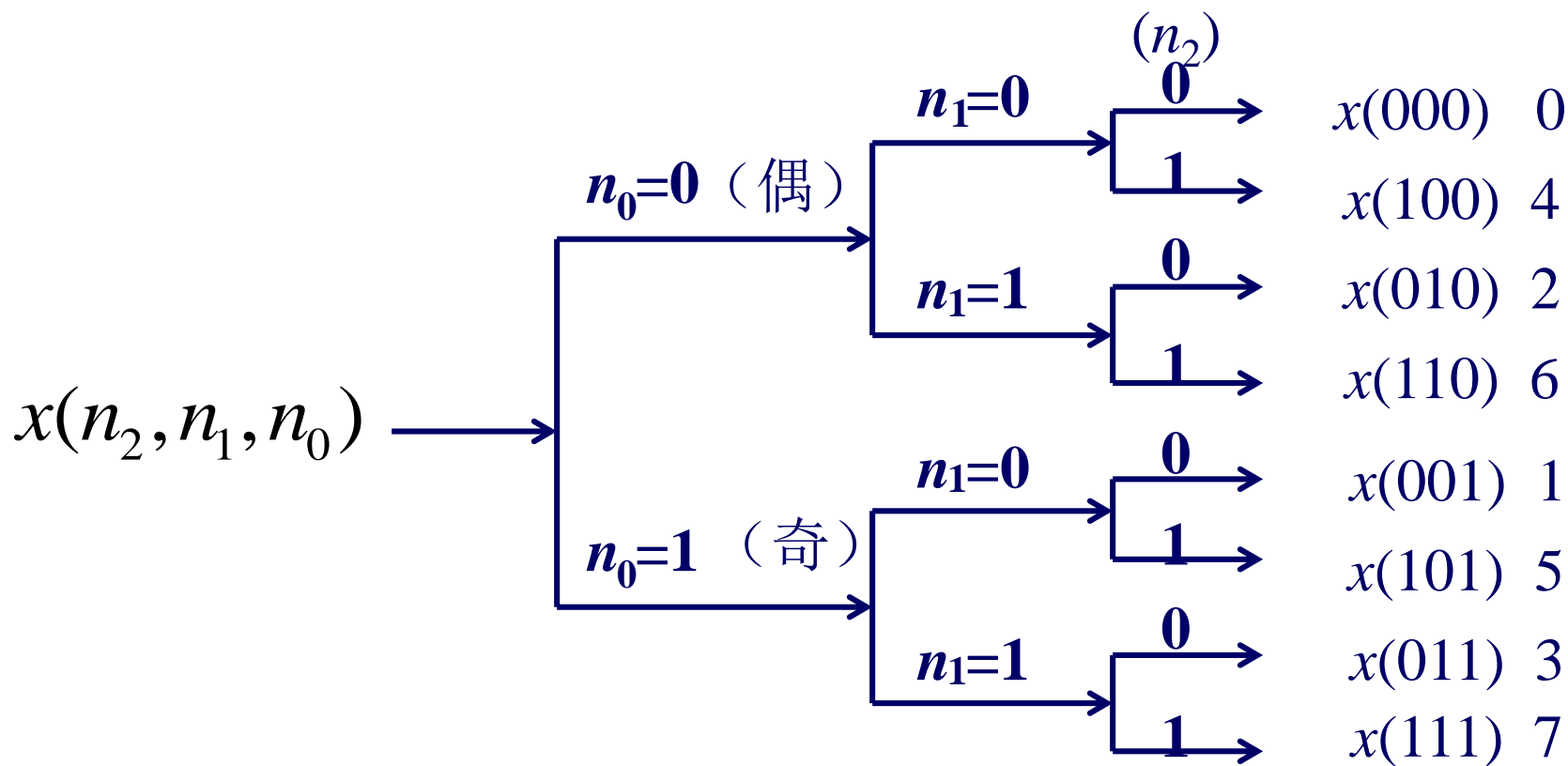


图4.2.6 DIT—FFT运算和程序框图

4.2.4 DIT-FFT的运算规律

5. 输入序列的倒序





4.2.4 DIT-FFT的运算规律

3. 输入序列的倒序

自然顺序 n	二进制 $n_2n_1n_0$	倒位序二进制 $n_0n_1n_2$	倒位顺序 \hat{n}
0	0 0 0	0 0 0	0
1	0 0 1	1 0 0	4
2	0 1 0	0 1 0	2
3	0 1 1	1 1 0	6
4	1 0 0	0 0 1	1
5	1 0 1	1 0 1	5
6	1 1 0	0 1 1	3
7	1 1 1	1 1 1	7



4.2.5 频域抽取法FFT(DIF-FFT)

设序列 $x(n)$ 长度为 $N=2^M$ ，首先将 $x(n)$ 前后对半分开，得到两个子序列，其DFT可表示为：

$$\begin{aligned} X(k) &= \sum_{n=0}^{N-1} x(n) W_N^k \\ &= \sum_{n=0}^{N/2-1} x(n) W_N^{kn} + \sum_{n=N/2}^{N-1} x(n) W_N^{kn} \end{aligned}$$



4.2.5 频域抽取法FFT(DIF-FFT)

$$\begin{aligned} X(k) &= \sum_{n=0}^{N-1} x(n)W_N^k \\ &= \sum_{n=0}^{N/2-1} x(n)W_N^{kn} + \sum_{n=N/2}^{N-1} x(n)W_N^{kn} \\ &= \sum_{n=0}^{N/2-1} x(n)W_N^{kn} + \sum_{n=0}^{N/2-1} x\left(n + \frac{N}{2}\right)W_N^{k(n+N/2)} \\ &= \sum_{n=0}^{N/2-1} \left[x(n) + W_N^{kN/2} x\left(n + \frac{N}{2}\right) \right] W_N^{kn} \end{aligned}$$

$$W_N^{kN/2} = (-1)^k = \begin{cases} 1, & k = \text{偶数} \\ -1, & k = \text{奇数} \end{cases}$$



4.2.5 频域抽取法FFT(DIF-FFT)

将 $X(k)$ 分解成偶数组与奇数组

➤ 当 k 取偶数($k = 2r, r = 0, 1, \dots, N/2-1$)时

$$\begin{aligned} X(2r) &= \sum_{n=0}^{N/2-1} [x(n) + x(n + \frac{N}{2})] W_N^{2nr} \\ &= \sum_{n=0}^{N/2-1} [x(n) + x(n + \frac{N}{2})] W_{N/2}^{nr} \\ &= \sum_{n=0}^{N/2-1} x_1(n) W_{N/2}^{nr} \end{aligned}$$

其中 $x_1(n) = x(n) + x(n + \frac{N}{2}), \quad n = 0, 1, \dots, N/2 - 1$



4.2.5 频域抽取法FFT(DIF-FFT)

将 $X(k)$ 分解成偶数组与奇数组

➤ 当 k 取奇数($k = 2r+1, r = 0, 1, \dots, N/2-1$)时

$$\begin{aligned} X(2r+1) &= \sum_{n=0}^{N/2-1} [x(n) - x(n + \frac{N}{2})] W_N^{n(2r+1)} \\ &= \sum_{n=0}^{N/2-1} [x(n) - x(n + \frac{N}{2})] W_N^n W_N^{2nr} \\ &= \sum_{n=0}^{N/2-1} [x(n) - x(n + \frac{N}{2})] W_N^n W_{N/2}^{nr} \\ &= \sum_{n=0}^{N/2-1} x_2(n) W_{N/2}^{nr} \end{aligned}$$

其中 $x_2(n) = [x(n) - x(n + \frac{N}{2})] W_N^n, \quad n = 0, 1, \dots, N/2 - 1$

4.2.5 频域抽取法FFT(DIF-FFT)

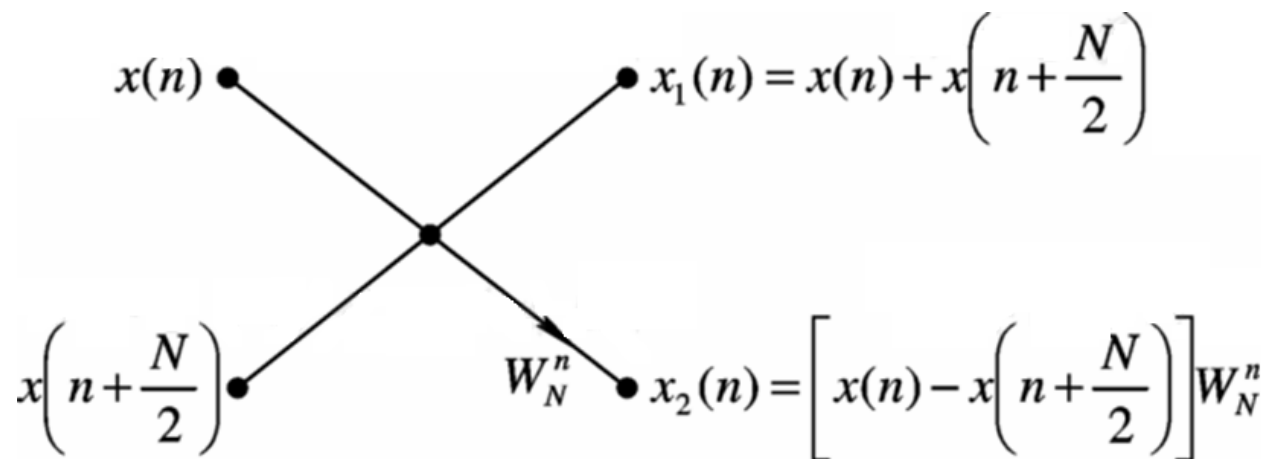


图4.2.10 DIF—FFT蝶形运算流图符号

4.2.5 频域抽取法FFT(DIF-FFT)

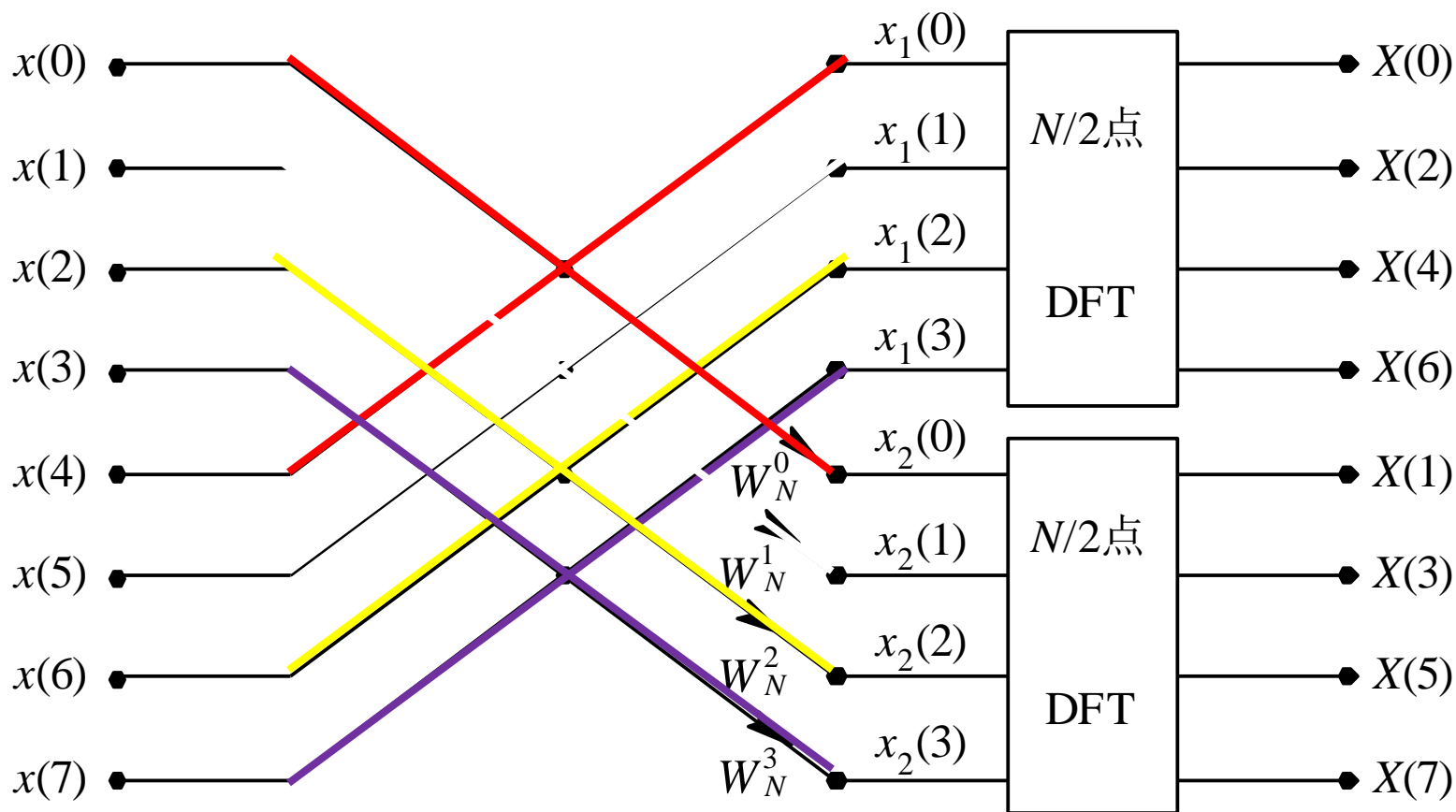


图4.2.11 DIF—FFT一次分解运算流图($N=8$)

4.2.5 频域抽取法FFT(DIF-FFT)

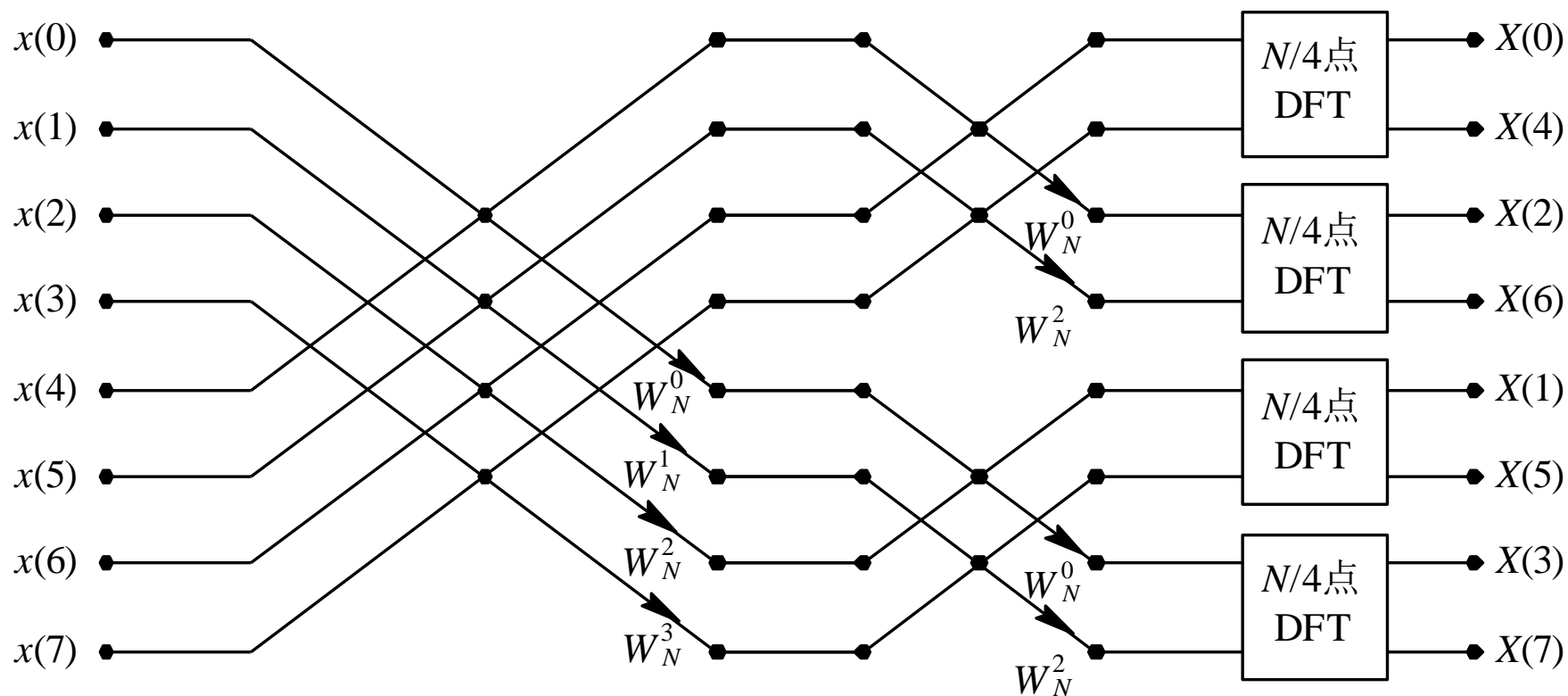


图4.2.12 DIF—FFT二次分解运算流图(N=8)

4.2.5 频域抽取法FFT(DIF-FFT)

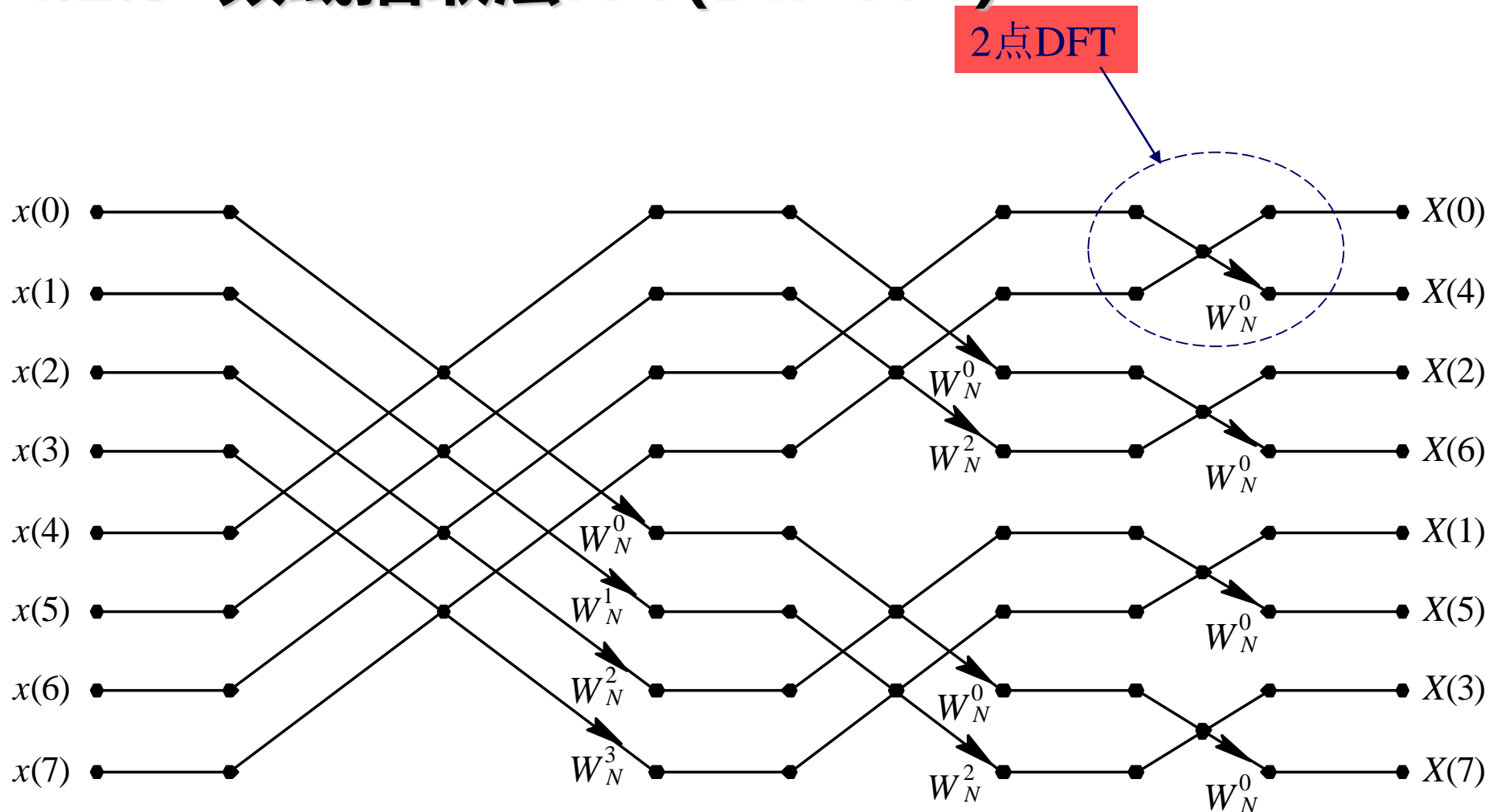


图4.2.13 DIF—FFT运算流图(N=8)



4.2.5 频域抽取法FFT(DIF-FFT)

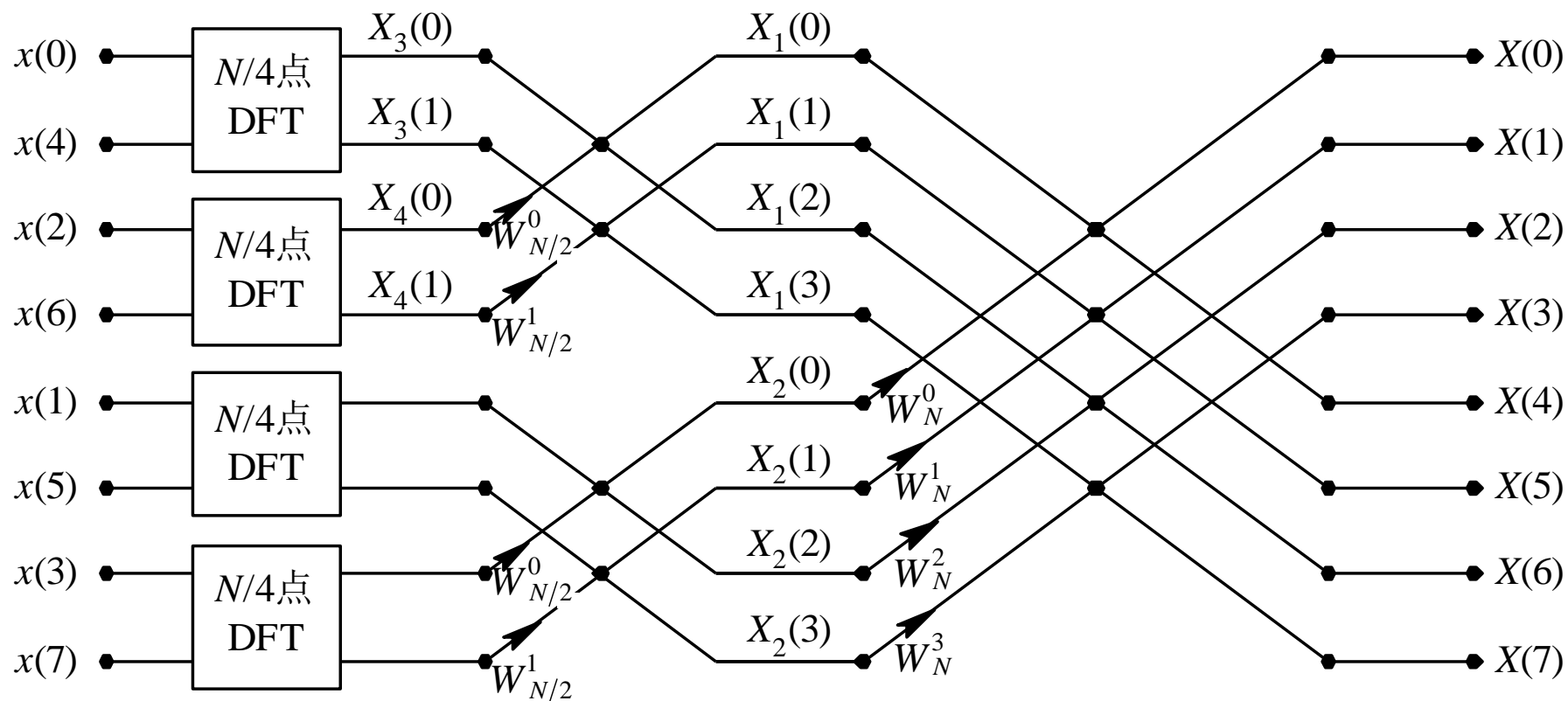
运算规律:

1. 原位计算: 运算过程无需增加新的存储单元

2. 旋转因子的变化规律

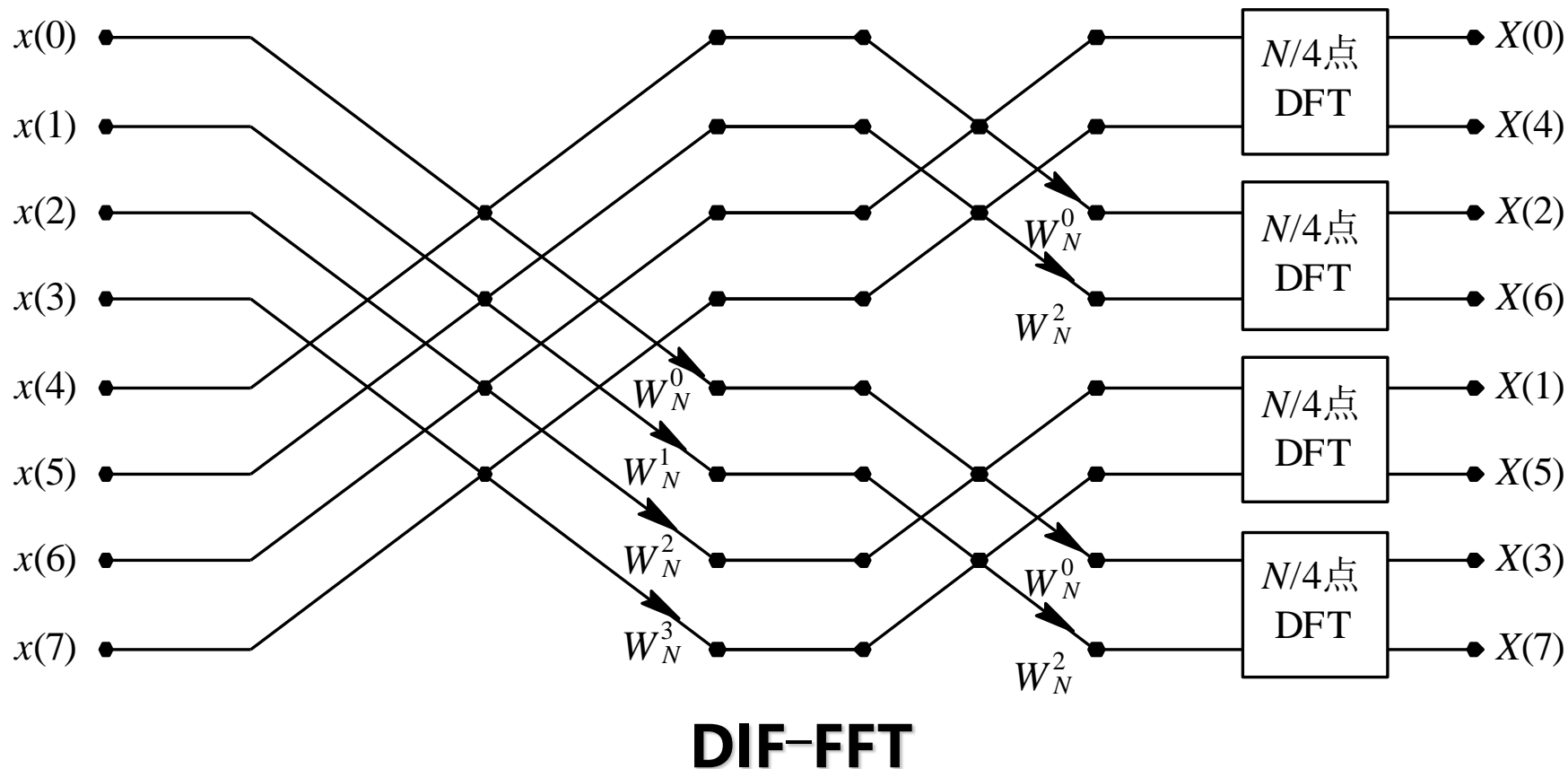
3. 输入序列的倒序

4.2.5 DIT-FFT与DIF-FFT



DIT-FFT

4.2.5 DIT-FFT与DIF-FFT





4.2.5 频域抽取法FFT(DIF-FFT)

- 仔细观察基2DIF-FFT运算流图和基2DITFFT运算流图会发现，将频域抽取法的运算流图反转，并将输入变输出，输出变输入，正好得到时域抽取法的运算流图
- 按频域抽取算法与按时域抽取算法是两种等价的FFT算法，此外，在基2FFT的基础上，还有变形基2FFT运算流图，原理类似



4.2.6 IDFT的高效算法

DFT:
$$X(k) = DFT[x(n)] = \sum_{n=0}^{N-1} x(n)W_N^{nk}$$

IDFT:
$$x(n) = IDFT[X(k)] = \frac{1}{N} \sum_{k=0}^{N-1} X(k)W_N^{-nk}$$

- 旋转因子指数变极性法
- 直接调用FFT子程序法



4.2.6 IDFT的高效算法

DFT:
$$X(k) = DFT[x(n)] = \sum_{n=0}^{N-1} x(n)W_N^{kn}$$

IDFT:
$$x(n) = IDFT[X(k)] = \frac{1}{N} \sum_{k=0}^{N-1} X(k)W_N^{-kn} = \frac{1}{N} \left\{ DFT[X^*(k)]^* \right\}$$

4.2.6 IDFT的高效算法

■ 旋转因子指数变极性法

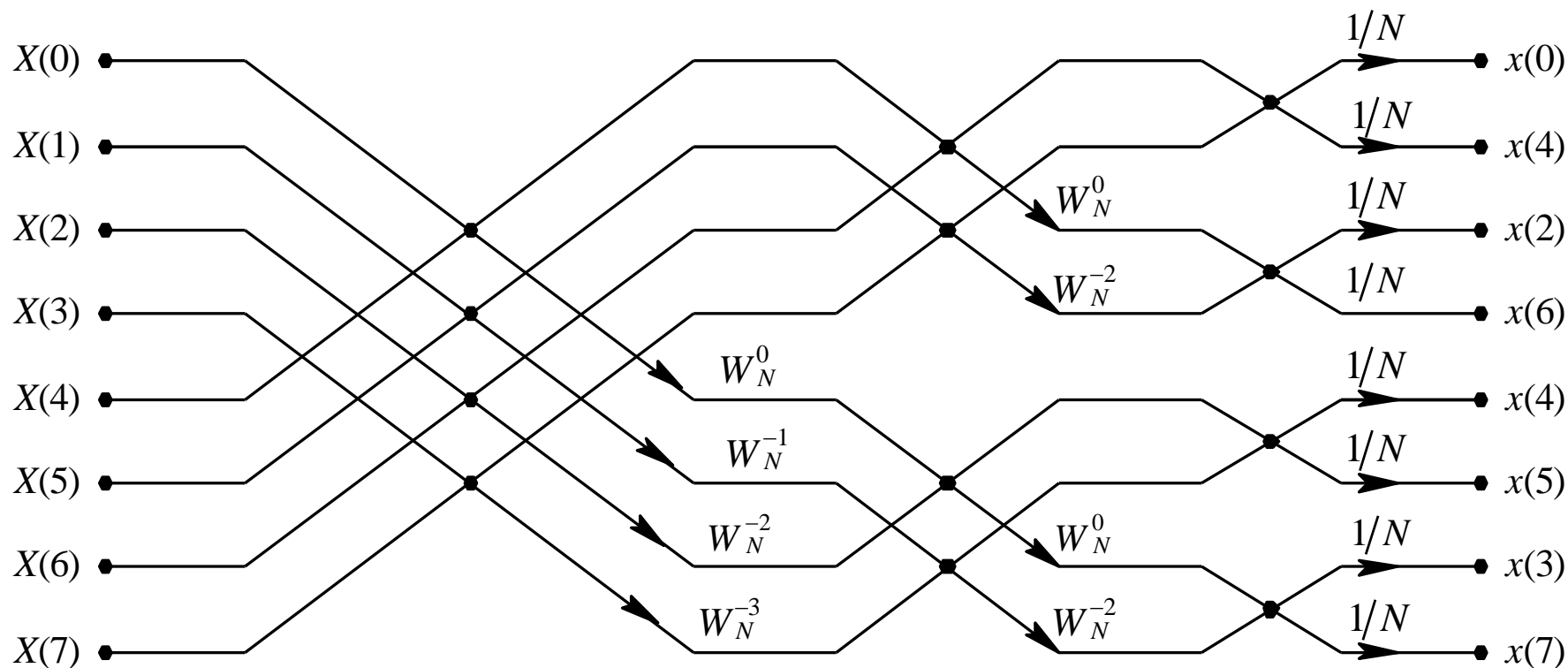


图4.2.16 DIT—IFFT运算流图

4.2.6 IDFT的高效算法

■ 旋转因子指数变极性法

乘法次数比图4.2.16
增加 $(M-1)N/2$ 次

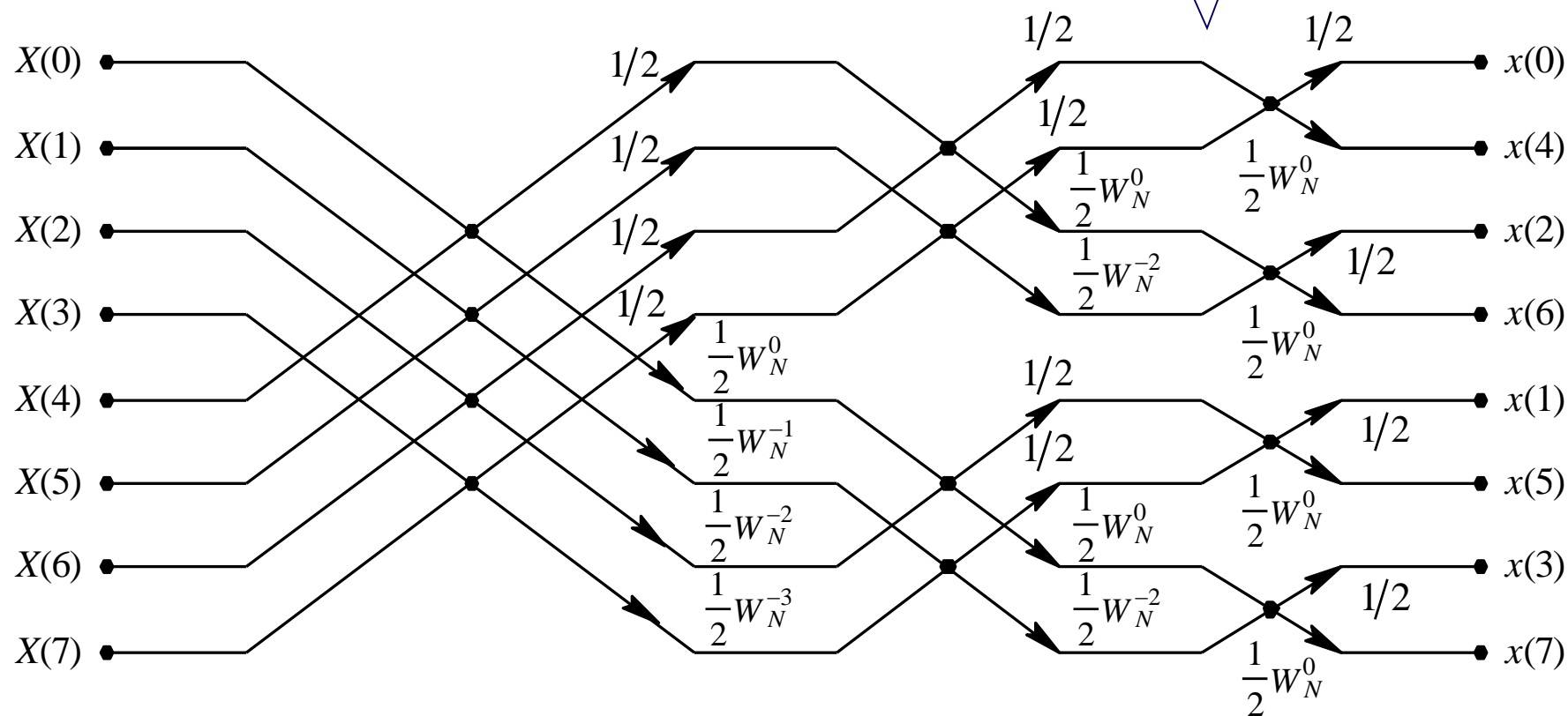


图4.2.17 DIT—IFFT运算流图(防止溢出)

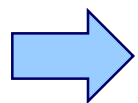


4.2.6 IDFT的高效算法

直接调用FFT子程序法1

$$x(n) = \frac{1}{N} \sum_{k=0}^{N-1} X(k) W_N^{-kn}$$

$$x^*(n) = \frac{1}{N} \sum_{k=0}^{N-1} X^*(k) W_N^{kn}$$



$$x(n) = \frac{1}{N} \left[\sum_{k=0}^{N-1} X^*(k) W_N^{kn} \right]^* = \frac{1}{N} \left\{ DFT[X^*(k)] \right\}^*$$





4.2.6 IDFT的高效算法

例：已知 $X(k) = \{-2, -2-2j, 10, -2+2j\}$ ，利用4点基-2 DIF-FFT算法流图计算 $x(n)$ 。

解：

第一步，求出 $X^*(k)$

$$X^*(k) = \{-2, -2+2j, 10, -2-2j\}$$

第二步，画出4点基-2 DIF-FFT算法流图。

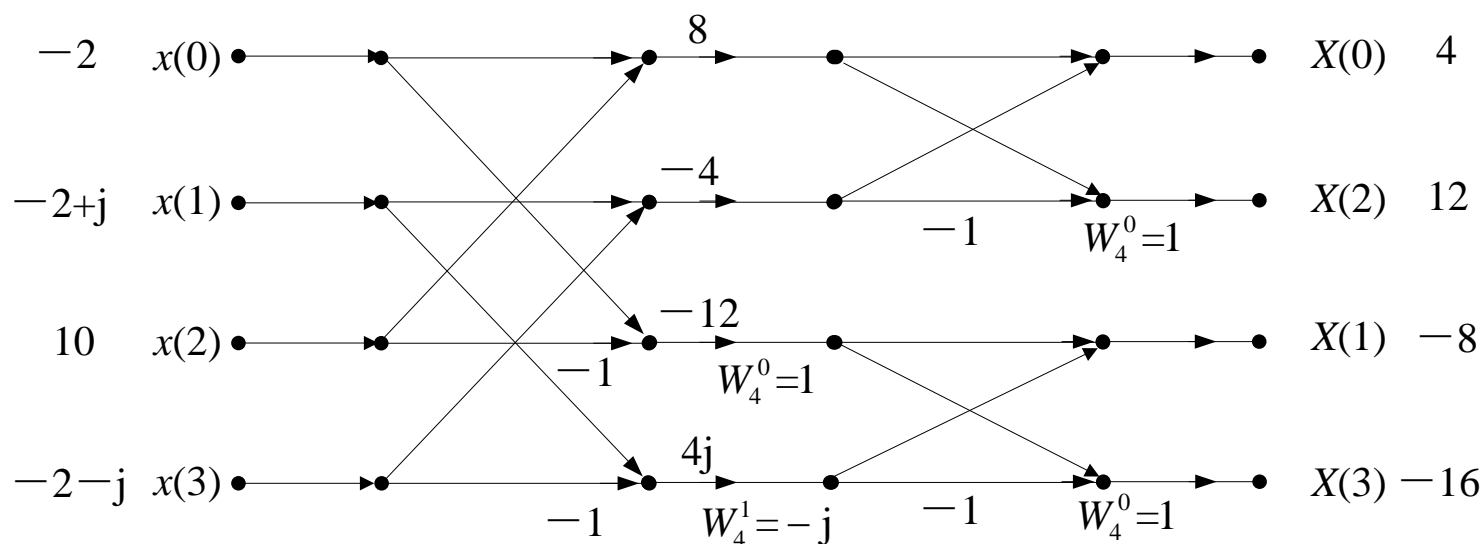
第三步，求出 $x(n)$

$$x(n) = \frac{1}{4} \left\{ \text{DFT}[X^*(k)] \right\}^* = \frac{1}{4} \{4, -8, 12, -16\} = \{1, -2, 3, -4\}$$

4.2.6 IDFT的高效算法

例：已知 $X(k) = \{-2, -2-2j, 10, -2+2j\}$ ，利用4点基-2 DIF-FFT算法流图计算 $x(n)$ 。

解：





4.3 进一步减少运算量的措施

4.3.1 多类蝶形单元运算

考虑旋转因子：

$$W_N^P = W_{N \cdot 2^{L-M}}^J = W_N^{J \cdot 2^{M-L}} \quad J = 0, 1, 2, \dots, 2^{L-1} - 1$$
$$p = J \cdot 2^{M-L}$$

注：在DFT中值为 ± 1 ， $\pm j$ 的旋转因子称为无关紧要的旋转因子

例：N=2³=8时的各级旋转因子表示如下：

$$W_N^P = W_{N/4}^J = W_{2^L}^J, J = 0$$

$$W_N^P = W_{N/2}^J = W_{2^L}^J, J = 0, 1$$

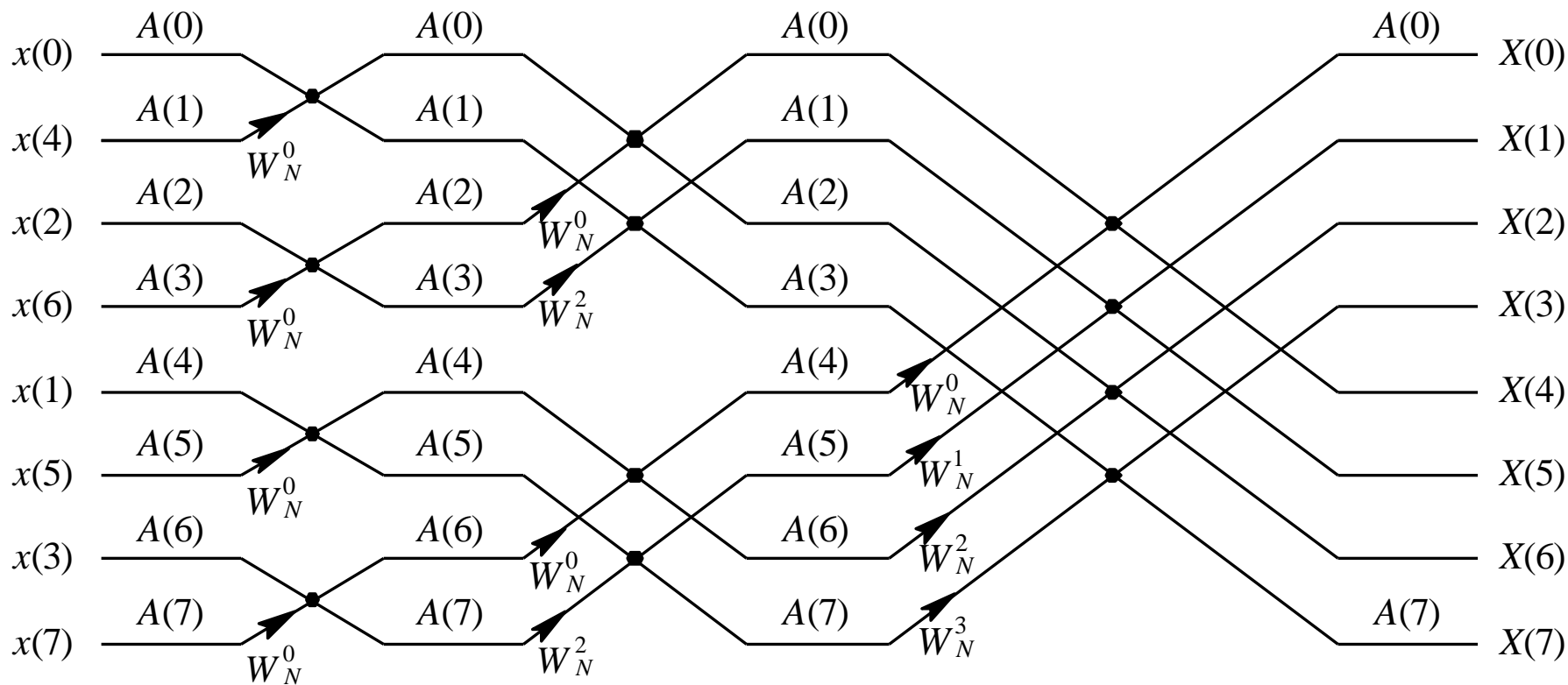
当L=1时，只有一种旋转因子 $W_N^0 = 1$ ，所以第一级不需要乘法运算。

当L=2时，有两种旋转因子 $W_N^0 = 1$ 及 $W_N^{N/4} = -j$ ，所以第二级也不需要乘法运算。

4.3.1 多类蝶形单元运算

综上所述，除去第一、二两级后，所需复数乘法次数为

$$C_M = \frac{N}{2} (M - 2) \quad (4.3.1)$$



N点DIT—FFT运算流图(N=8)

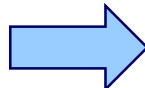
4.3.1 多类蝶形单元运算

每一级有 $N/2$ 个蝶形运算单元，共 2^{M-L} 个蝶形；

每一级有 2^{L-1} 个不同的旋转因子，每个旋转因子对应 $2^{M-L}=N/2^L$ 个蝶形运算

从 $L=3$ 至 $L=M$ ，每一级有两个无关紧要的旋转因子

$$W_N^0 = 1, \quad W_N^{N/4} = -j$$


$$\sum_{L=3}^M \frac{N}{2^L} * 2 = 2N \sum_{L=3}^M \left(\frac{1}{2}\right)^L = \frac{N}{2} - 2 \quad (4.3.2)$$

DIT—FFT的复乘次数：

$$C_M = \frac{N}{2}(M-2) - \left(\frac{N}{2} - 2\right) = \frac{N}{2}(M-3) + 2 \quad (4.3.3)$$



4.3.1 多类蝶形单元运算

特殊复数运算

- 一般复乘: $(a+jb)*(c+jd)$ —— 4次实乘, 2次实加;
- $W_N^{8/N} = (1-j)\sqrt{2}/2$: 与任意复数相乘仅需2次实乘, 2次实加;

$N=2^M$ 点DIT—FFT所需实数乘法次数:

$$\begin{aligned} R_M &= 4\left[\frac{N}{2}(M-3)+2\right] - 2\sum_{L=3}^M \frac{N}{2^L} \\ &= 4\left[\frac{N}{2}(M-3)+2\right] - \left(\frac{N}{2}-2\right) \\ &= N\left(2M - \frac{13}{2}\right) + 10 \end{aligned}$$

(4.3.4)



蝶形运算分类：

一类蝶形单元运算：包含所有旋转因子；

二类蝶形单元运算：去掉 $W_N^r = \pm 1$ 的旋转因子；

三类蝶形单元运算：再去掉 $W_N^r = \pm j$ 的旋转因子；

四类蝶形单元运算：再处理 $W_N^r = (1-j)\sqrt{2}/2$ 的旋转因子；

后三类称为多类蝶形单元运算。

蝶形运算单元越多，编程越复杂，乘法运算量越少。

例：三类蝶形运算中，乘法次数是一类蝶形运算的75%。



编程复杂度换取时间效率



4.3.2 旋转因子的生成

在FFT运算中，旋转因子 $W_N^m = \cos(2\pi m / N) - j\sin(2\pi m / N)$

求正弦和余弦函数值的计算量是很大的。

两种方法：

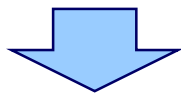
1. 运算中直接计算旋转因子；
2. 预先计算并保存，可提高运算速度，但耗内存；

4.3.3 实序列的FFT算法

三种情况:

1. 把实序列 $x(n)$ 看作虚部为零的复序列，直接调用FFT; 时间浪费
2. 对两个 N 点的实序列 $x(n)$ 和 $h(n)$ ，构在复序列 $y(n)$ ，即

$$y(n) = x(n) + jh(n), n = 0, 1, \dots, N-1$$



$$\left. \begin{aligned} X(k) = DFT[x(n)] = Y_{ep}(k) &= \frac{1}{2}[Y(k) + Y^*(N-k)] \\ H(k) = DFT[h(n)] = -jY_{op}(k) &= \frac{1}{2j}[Y(k) - Y^*(N-k)] \end{aligned} \right\}, k = 0, 1, \dots, N-1$$

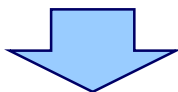
运算时间略多于一个 N 点FFT，可获得两个 N 点实序列的FFT

4.3.3 实序列的FFT算法

3. 设 $x(n)$ 为 N 点实序列，取 $x(n)$ 的偶数点和奇数点分别作为新构造序列 $y(n)$ 的实部和虚部，即

$$x_1(n) = x(2n), x_2(n) = x(2n+1), n = 0, 1, \dots, N/2 - 1$$

$$y(n) = x_1(n) + jx_2(n), n = 0, 1, \dots, N/2 - 1$$



$$\left. \begin{aligned} X_1(k) &= DFT[x_1(n)] = Y_{ep}(k) \\ X_2(k) &= DFT[x_2(n)] = -jY_{op}(k) \end{aligned} \right\}, k = 0, 1, \dots, \frac{N}{2} - 1$$



4.3.3 实序列的FFT算法

根据DIT—FFT的思想，可得到

$$X(k) = X_1(k) + W_N^k X_2(k), \quad k = 0, 1, \dots, N/2 - 1$$

由于 $x(n)$ 为实序列，所以 $X(k)$ 具有共轭对称性， $X(k)$ 的另外 $N/2$ 点的值为

$$X(N-k) = X^*(k), k = 1, 2, \dots, N/2 - 1$$



4.3.3 实序列的FFT算法

■ 运算效率（复乘）：

$$\eta = \frac{M \frac{N}{2}}{M \frac{N}{4} + \frac{N}{2}} = \frac{2M}{M+2} \approx 2$$



Part 4 作业

提交作业：1、4、5